



БИООРГАНИЧЕСКАЯ ХИМИЯ

том 10 * № 9 * 1984

УДК 547.963.32.057:542.95

КАТАЛИТИЧЕСКАЯ РОЛЬ ОСНОВАНИЙ НУКЛЕИНОВЫХ КИСЛОТ В РЕАКЦИЯХ ФОСФОРИЛИРОВАНИЯ РИБОНУКЛЕОЗИДОВ ФОСФОРИЛХЛОРИДОМ

Микстайс У. Я., Чаксте И. Р.

ВНИИ прикладной биохимии ИПО «Биохимреактив», Олайн

Выявлена зависимость скорости фосфорилирования рибонуклеозидов от кислотно-основных свойств гетероциклического основания. Предполагается, что первой стадией взаимодействия фосфорилхлорида с нуклеозидами является образование промежуточного соединения между фосфорилирующим агентом и наиболее нуклеофильным азотом гетероциклического основания и далее осуществляется образование фосфоэфирной связи путем нуклеофильной атаки активированного атома фосфора кислородом стерически близко расположенной 5'-гидроксильной группы.

Направленное химическое фосфорилирование рибонуклеозидов — удобный метод получения природных и модифицированных 5'-нуклеотидов. Известны способы фосфорилирования нуклеозидов фосфорилхлоридом в различных полярных растворителях, например в среде нитрилов и пиридина [1]. Наиболее распространенной реакционной средой являются триалкилфосфаты [2]. Селективность 5'-фосфорилирования незащищенных нуклеозидов обычно объясняют большей реакционной способностью первичной 5'-гидроксильной группы по сравнению с вторичными 2'- и 3'-группами.

С целью выявления других факторов, влияющих на селективность и скорость фосфорилирования нуклеозидов, мы провели сопоставление скоростей фосфорилирования различных рибонуклеозидов в одинаковых условиях. Фосфорилирование рибонуклеозидов и их солей осуществляли фосфорилхлоридом в триметилфосфате при 0° С. Скорость фосфорилирования определяли по количеству нуклеотида, образовавшегося к данному моменту времени. Так как фосфорилхлорид использовал в трехкратном избытке, процесс может с достаточной для практических целей точностью рассматриваться как реакция первого порядка по нуклеозиду. Это подтверждается тем, что графическое изображение логарифмов концентраций нуклеозидов в зависимости от времени в начальных стадиях фосфорилирования представляет собой прямую. Результаты фосфорилирования рибонуклеозидов, константы скоростей реакций и время полуperiодов обобщены в таблице и рис. 1, из которых видно, что скорость фосфорилирования рибонуклеозидов уменьшается в последовательности: Cyd>Ado>Guo>Urd. Изученный ряд соответствует ряду убывания основности рибонуклеозидов и обнаруживает зависимость реакционной способности 5'-гидроксильной группы от природы гетероциклического основания. Встречающиеся в литературе разрозненные данные о влиянии оснований нуклеиновых кислот на реакционную способность функциональных групп сахара [3, 4] не объясняют наблюдаемых закономерностей.

Для более подробного изучения роли гетероциклических оснований мы исследовали фосфорилирование ионизированных форм нуклеозидов. Быстрее, чем нуклеозиды, фосфорилируются их натриевые соли (рис. 1). Ранее для получения нуклеозид-5'-фосфорилидихлоридов нами было предложено использовать анионы нуклеозидов [5]. Гуанозин и уридин в анионной форме депротонированы в основании при N1- и N3-атомах соответственно [3, 6]. В анионе аденоцина депротонирована главным образом 2'-гидроксильная группа [3, 6], однако селективность 5'-фосфорилирования

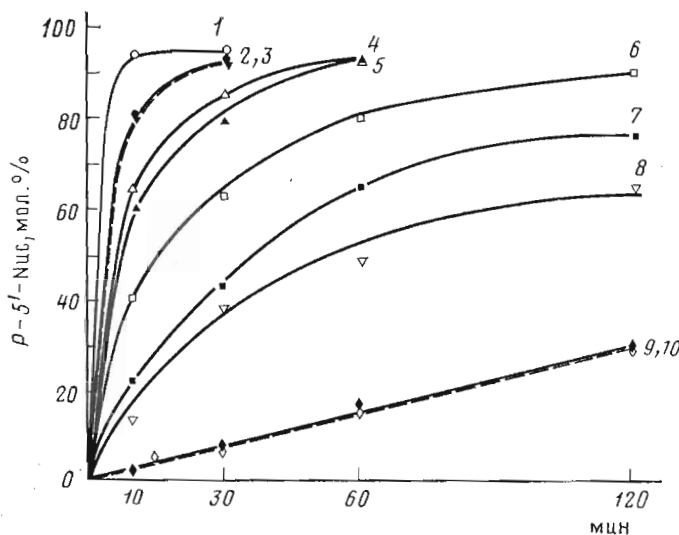


Рис. 1. Зависимость выхода нуклеозид-5'-фосфатов от времени реакции при фосфорилировании: Guo-Na (1), Urd-Na (2), Ado-Na (3), Cyd (4), Ado (5), Guo (6), Guo-HCl (7), Urd (8), Cyd-HCl (9), Ado-HCl (10) (1,8 ммоль Nuc, 5,4 ммоль POCl_3 , $\text{PO}(\text{OCH}_3)_3$ 5 мл, 0°C)

сохраняется и составляет свыше 97% (по данным периодического окисления 2',3'-диольной группировки согласно работе [7]).

Нуклеозиды с протонированными гетероциклическими основаниями — гидрохлориды аденоцина и цитидина — фосфорилируются значительно медленнее нейтральных форм нуклеозидов (таблица и рис. 1). В этой группе выделяется гуанозин, гидрохлорид которого по скорости фосфорилирования лишь незначительно уступает неионизированной форме. Как известно, гуанозин в отличие от остальных нуклеозидов протонируется не в пуримидиновом, а в имидазольном цикле [3].

На основании исследований фосфорилирования ионизированных форм нуклеозидов можно было предположить, что скорость фосфорилирования зависит от нуклеофильности пиримидинового цикла нуклеозидов. В связи с этим возник интерес к изучению зависимости реакционной способности нуклеозидов в реакциях фосфорилирования от величины pK_a нуклеозидов. До сих пор в литературе отсутствуют данные о значениях pK_a соединений одного класса в органических растворителях линейно связанные с pK_a для тех же

Скорость фосфорилирования рибонуклеозидов

Нуклеозид	Время фосфорилирования, мин	Содержание, мол. %			$k \cdot 10^3, \text{с}^{-1}$	$t_{1/2}, \text{мин}$	ρ'
		Nuc	$P\text{-}5'\text{-Nuc}$	$\text{Nuc}-2',5'+P_2,$ $\text{Nuc}-3',5'+P_2,$ $\text{Nuc}-2',3',5'+P_3$			
Cyd	10	31,1	64,4	4,5	1,95	5,95	0,12
	30	9,6	84,5	5,9			
	60	1,8	93,7	4,5			
Ado	10	39,3	60,7	—	1,55	7,45	0,12
	30	18,7	79,3	2			
	60	3,7	93,2	3,1			
Guo	10	59,7	40,3	—	0,86	13,43	0,12
	30	37,4	62,6	—			
	60	19,9	81,3	1,8			
Urd	10	86,9	13,1	—	0,23	49,36	
	30	63,5	36,5	—			
	60	50,5	48,0	1,5			

соединений в воде [8–10]. Поэтому мы пользовались значениями pK_a , определенными для рибонуклеозидов в воде [3]. При графическом изображении проявляется линейная корреляция между логарифмом константы скорости фосфорилирования рибонуклеозидов и их pK_a (рис. 2). Уравнение прямой имеет вид

$$\lg k = 0,12 \ pK_a - 3,23. \quad (1)$$

Коэффициенты уравнения рассчитаны по методу наименьших квадратов, коэффициент корреляции $P=0,999$, что указывает на тесную связь между параметрами.

Можно было предположить, что применение принципа линейности подобно уравнению Гамметта позволит оценить степень влияния различных гетероциклов на скорость реакции. И действительно, нуклеофильности гетероциклических оснований линейно коррелируют с константами скорости реакции фосфорилирования 5'-гидроксильной группы:

$$\lg \frac{k_i}{k_0} = \rho' \sigma', \quad (2)$$

где k_i – константа скорости фосфорилирования рибонуклеозида; k_0 – константа скорости фосфорилирования уридуна, выбранного в качестве стандарта; ρ' – коэффициент пропорциональности; σ' – константа, характеризующая нуклеофильность основания; $\sigma' = pK_a^{\text{Nuc}} - pK_a^{\text{Urd}}$.

Рассчитанные значения ρ' приведены в таблице. На основании полученных закономерностей можно предположить, что первой стадией взаимодействия фосфорилхлорида с нуклеозидами является образование реакционноспособного комплекса между фосфорилирующим агентом и наиболее нуклеофильным атомом гетероциклического основания. Таким образом, наибольшая вероятность взаимодействия фосфорилхлорида с N1-атомом аденоцина, N1- или, возможно, N7-атомом гуапозина и N3-атомом пуриновых нуклеозидов. Образовавшееся промежуточное соединение, аналогично описанным в литературе [8, 11] фосфорилимидазолам, обладает повышенной реакционной способностью атома фосфора. Этим обеспечивается повышенная скорость фосфорилирования в первую очередь близко расположенной 5'-гидроксильной группы. Стерически выгодное для нуклеофильного взаимодействия расположение 5'-гидроксильной группы и фосфорилхлорида, связанного с основанием, наглядно рассматривается на моделях Сьюарта-Бриглеба.

Вторая стадия – образование фосфоэфирной связи – осуществляется нуклеофильной атакой активированного атома фосфора кислородом 5'-гидроксильной группы. После этого взаимодействие 5'-фосфорилдихлоридной группы с гетероциклическим основанием сохраняется подобно описанному взаимодействию 5'-фосфатной группы с основанием в нуклеотидах [3].

Взаимодействие фосфорилхлорида и гетероциклического основания подтверждается спектрами ПМР. После контакта фосфорилхлорида с нуклеозидами наблюдаются смещения химических сдвигов протонов нуклеозидов при NH_2 - и NH-группах на 3–4 м.д. в сторону слабого поля, соответствующие сдвигам сигналов протонов NH_2 - и NH-групп при комплексообразовании аминов с фосфатами [12].

Таким образом, внутримолекулярным катализом можно объяснить различную скорость фосфорилирования первичных 5'-гидроксильных групп, обладающих практически одинаковой у всех нуклеозидов и их солей нуклеофильностью.

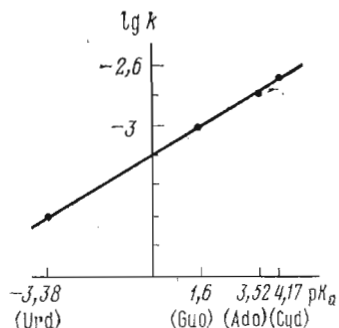


Рис. 2. Зависимость константы скорости фосфорилирования рибонуклеозидов от их pK_a . Условия – см. подпись к рис. 1

Экспериментальная часть

Спектры ПМР снимали в дейтерированном триметилfosфате с использованием циклогексана в качестве внутреннего стандарта на приборе Bruker WH-90 с рабочей частотой 90 МГц, УФ-спектры — на приборе СФ-16. Периодическое окисление продуктов фосфорилирования нуклеозидов и их солей проводили по методу [7]. Содержание основного вещества в солях нуклеозидов определяли как описано в работах [13, 14].

Дейтерированный триметилfosфат сушили над молекулярными ситами 4 Å. Триметилfosфат марки ч. применили без дополнительной очистки. Нуклеозиды (производство НПО «Биохимреактив») сушили 20 ч в сушильном шкафу при 60° С. Фосфорилхлорид перегоняли.

Скорость реакции фосфорилирования определяли по нуклеотидному составу реакционной смеси. Через определенный интервал времени отобранную пробу (0,05 мл) гидролизовали ледяной водой, нейтрализовали 5 н. раствором NH₄OH (общий объем образца 1 мл). Анализировали 0,1 мл полученного раствора на колонке (0,7×5,5 см) Spheron DEAE 1000 (ЧССР), используя градиентное элюирование от воды к 2 М раствору формиата аммония в 1 М муравьиной кислоте со скоростью 1,8 мл/мин. Оптическое поглощение элюата измеряли проточным УФ-денситометром Uvicord (LKB, Швеция) при 254 нм. Процентный состав компонентов рассчитали по площади регистрируемых пиков.

Натриевая соль уридина. Растворяли 1,2 г (30 ммоль) измельченного гидроксида натрия в 32 мл метилового спирта и при 50° С прибавляли 5 г (20,5 ммоль) уридина, раствор охлаждали до 20° С и после осаждения 15 мл диэтилового эфира фильтровали гигроскопическую соль, осадок на фильтре промывали эфиром (3×10 мл), сушили 15 ч в вакуум-экскаторе над P₂O₅, затем 10 ч в сушильном шкафу при 60° С. Получали 5,5 г (выход 97,2%, считая на уридин) натриевой соли уридина, содержащей 96,4% основного вещества.

Натриевая соль гуанозина. Растворяли 1 г (25 ммоль) гидроксида натрия в 10 мл воды, к раствору прибавляли 5 г (17,7 ммоль) гуанозина, натриевую соль гуанозина осаждали 50 мл этилового спирта, суспензию охлаждали до 5° С, в течение 1 ч выдерживали в холодильнике. Получали 5,2 г (выход 96,5%, считая на гуанозин) соли, содержащей 99% основного вещества.

Натриевая соль аденоцина. Растворяли 1,1 г (27,5 ммоль) гидроксида натрия в 170 мл этилового спирта и при 70° С прибавляли 5 г (18,7 ммоль) аденоцина. После охлаждения смесь оставляли на ночь в холодильнике. Натриевую соль аденоцина отделяли фильтрованием, осадок на фильтре промывали этиловым спиртом (3×10 мл), затем 10 ч сушили при 60° С. Получали 5,4 г (выход 96,1%, считая на аденоцин) соли, содержащей 96,3% основного вещества.

Гидрохлорид гуанозина. Смешивали 5 г (17,7 ммоль) гуанозина с 5 мл (50 ммоль) 10 н. HCl, получали кристаллическую массу, которую суспензировали в этиловом спирте, фильтровали, осадок на фильтре промывали спиртом (3×25 мл) и 25 мл ацетона. Полученную соль сушили в вакуум-экскаторе над P₂O₅. Получали 5,4 г (выход 90,6%, считая на гуанозин) G₄O·HCl, содержащего 94% основного вещества.

Гидрохлорид аденоцина. Растворяли 5 г (18,7 ммоль) аденоцина в 25 мл (25 ммоль) 1 н. HCl. Осаждали Ado·HCl 70 мл этилового спирта, смесь оставляли на ночь в холодильнике, фильтровали и после сушки получали 5,3 г (выход 94%, считая на аденоцин) Ado·HCl, содержащего 100% основного вещества.

Гидрохлорид цитидина. Cyd·HCl получали аналогично Ado·HCl. Препарат содержит 100% Cyd·HCl.

Фосфорилирование нуклеозидов и их солей. Общая методика. Охлаждали 5 мл триметилfosфата до 0° С, добавляли 0,5 мл (5,4 ммоль) свежеперегнанного фосфорилхлорида. При перемешивании, поддерживая температуру среды 0° С, добавляли нуклеозид или его соль (1,8 ммоль). По описанной выше методике определяли процентный состав компонентов через 10 миц, 0,5 ч, 1 ч и т. д.

Аналогично проводили фосфорилирование в дейтерированном триметилфосфате.

ЛИТЕРАТУРА

1. Sowa T., Ouchi S. Bull. Chem. Soc. Japan, 1975, v. 48, № 7, p. 2084–2090.
2. Joshikawa M., Kato T., Takenishi T. Tetrahedron Lett., 1967, № 50, p. 5065–5068.
3. Кочетков Н. К., Будовский Э. М., Свердлов Е. Д., Симукова Н. А., Турчинский М. Ф., Шибаев В. Н. Органическая химия нуклеиновых кислот. М.: Химия, 1970.
4. Joshikawa M., Kato T. Bull. Chem. Soc. Japan, 1967, v. 40, p. 2849–2853.
5. А. с. 487887 (СССР) Способ получения хлорангидридов нуклеозид-5'-монофосфорных кислот/Микстайс У. Я., Чаксте И. Р. Опубл. в Б. И., 1975, № 38.
6. Секацис И. П., Купче Э. Л., Чапте И. Р., Микстайс У. Я. Матер. конф. «Методы получения и анализа биохимических препаратов», НИИТЭХИМ, 1977, с. 47.
7. Бусев А. И., Захаранс В. Я., Микстайс У. Я. Хим.-фармацевт. ж., 1977, т. 11, № 3, с. 128–132.
8. Дженкс Б. Катализ в химии и энзимологии. М.: Мир, 1978.
9. Пальм В. А. Основы количественной теории органических реакций. Л.: Химия, 1977.
10. Измайлова Н. А. Электрохимия растворов. М.: Химия, 1976, с. 277.
11. Каюшин А. Л., Берлин Ю. А., Колесов М. Н. Биоорганс. химия, 1982, т. 8, № 5, с. 660–666.
12. Головина Р. В., Журавлева И. Л., Зенин С. В., Поляков В. А., Сергеев Т. Б. Изв. АН СССР. Сер. хим., 1973, № 11, с. 2595–2597.
13. Веверис А. Я., Спинце Б. А., Микстайс У. Я. Изв. АН ЛатвССР. Сер. хим., 1981, № 3, с. 442–447.
14. Веверис А. А., Спинце Б. А., Микстайс У. Я. Изв. АН ЛатвССР. Сер. хим., 1983, № 1, с. 89–93.

Поступила в редакцию

5.V.1983

После доработки

7.II.1984

CATALYTIC ROLE OF NUCLEIC ACID BASES IN PHOSPHORYLATION REACTIONS OF RIBONUCLEOSIDES WITH PHOSPHORYL CHLORIDE

MIKSTAIS U. Ya., CHAKSTE I. R.

All-Union Research Institute of Applied Biochemistry, Olaine

The dependence of the ribonucleoside phosphorylation rate on the acid-base properties of a heterocyclic base has been established. According to the phosphorylation rate, nucleosides can be ranked as follows: Cyd>Ado>Guo>Urd, that is also in keeping with the decrease in basicity of ribonucleosides. A linear correlation is observed between the phosphorylation rate and the nucleoside pK_a . The formation of an intermediate between the phosphorylating agent and the most nucleophilic nitrogen of the heterocyclic base seems to be the first stage of the interaction between phosphoryl chloride and nucleosides. The subsequent step might involve the formation of phosphodiester bond due to a nucleophilic attack on the activated phosphorus by the oxygen of sterically proximal 5'-hydroxyl group.